

КОРРЕЛЯЦИОННЫЕ ФУНКЦИИ ВНУТРЕННИХ НАПРЯЖЕНИЙ ДИСЛОКАЦИОННЫХ ПЕТЕЛЬ

В. Г. Барышников, Т. Д. Шермергор

(Москва)

Основываясь на уравнениях несовместности рассчитаны внутренние напряжения в гранецентрированных кубических (ГЦК) монокристаллах, связанные с призматическими дислокационными петлями. Принимая, что вектор Бюргерса каждой петли имеет равновероятные ориентировки, согласованные с системой плоскостей скольжения, а сами петли распределены в пространстве случайно, вычисляются характеристики случайной составляющей внутреннего поля напряжений. Найдены спектральная плотность энергии и бинарная корреляционная функция тензоров внутренних напряжений. Проанализирована тензорная и координатная зависимости корреляционных функций.

Внутренние напряжения оказывают существенное влияние на физические и механические свойства твердых тел. Причиной их возникновения могут быть различные дефекты структуры. Однако основной вклад во внутренние напряжения вносят дислокации.

Дислокационные напряжения определяются плотностью дислокаций и структурой дислокационной сетки. Их исследованию посвящено большое количество экспериментальных работ [1]. Однако теоретический расчет удалось выполнить в ограниченном числе случаев в основном применительно к параллельному расположению линий дислокаций. При этом вычислялись такие интегральные характеристики, как дисперсия и энергия внутренних напряжений [2-4]. Такой подход, хотя и дает определенную информацию о внутренних напряжениях, обладает тем недостатком, что не позволяет судить об их пространственном распределении.

С другой стороны, упругое поле дислокационных скоплений детально исследовано для ряда регулярных дислокационных структур — границ блоков, полигональных стекок, скоплений прямолинейных дислокаций [5]. Очевидным недостатком модельного подхода для интегрального описания поля внутренних напряжений будет, с одной стороны, большое разнообразие дислокационных структур, а с другой — нерегулярность распределения дислокаций.

Исходя из этого, представляет интерес провести расчет внутренних напряжений, связанных с дислокациями, основываясь на теории случайных функций. В качестве интегральной характеристики упругого поля системы дислокаций удобно принять бинарные корреляционные функции внутренних напряжений, откуда могут быть получены такие параметры, как дисперсия и внутренняя энергия. Эти функции описывают также пространственное убывание корреляционных связей случайного поля внутренних напряжений.

1. В континуальной теории дислокаций источники внутренних напряжений характеризуются тензором несовместности η_{mn} , а внутренние напряжения σ_{kl} определяются из решения следующей системы уравнений:

$$\text{Rot}_{nj}^{mi} s_{ijkl} \sigma_{kl} = \eta_{mn}, \quad \nabla_l \sigma_{kl} = 0, \quad \text{Rot}_{nj}^{mi} \equiv \varepsilon_{ipm} \varepsilon_{jqn} \nabla_p \nabla_q \quad (1.1)$$

с соответствующими граничными условиями [6].

Здесь s_{ijkl} — тензор упругих податливостей, ε_{ipm} — единичный антисимметричный тензор, ∇_i означает дифференцирование по соответствующей координате, а по повторяющимся индексам предполагается суммирование.

Распределение дислокаций в реальном кристалле можно характеризовать тензором плотности дислокаций α_{ik} или тензором плотности моментов дислокаций μ_{ik} (дислокационной поляризации), которые связаны

с тензором несовместности соотношениями

$$\eta_{ij} = \nabla_k \epsilon_{kl} (\alpha_j)_l, \quad \alpha_{ji} = \epsilon_{jmn} \nabla_m \mu_{nl} \quad (1.2)$$

Здесь по индексам, заключенным в круглые скобки, проводится симметризация.

Из однородности тензора податливостей s_{ijkl} следует, что регулярная $\langle \sigma_{kl} \rangle$ и случайная σ_{kl}' составляющие поля напряжений определяются уравнениями

$$\text{Rot}_{nj}^{mi} s_{ijkl} \langle \sigma_{kl} \rangle = \langle \eta_{mn} \rangle, \quad \text{Rot}_{nj}^{mi} s_{ijkl} \sigma_{kl}' = \eta_{mn}' \quad (1.3)$$

Здесь и далее угловые скобки используются для обозначения статистического усреднения, а штрихами обозначены случайные составляющие соответствующих величин.

Будем считать случайные поля плотности дислокаций и дислокационной поляризации статистически однородными. Тогда их средние значения будут постоянными по кристаллу, а средние значения тензоров несовместности и внутренних напряжений будут равны нулю в соответствии с уравнениями (1.1) и (1.2). Бинарные корреляционные функции вследствие статистической однородности будут зависеть лишь от радиус-вектора \mathbf{r} , соединяющего две рассматриваемые точки кристалла:

$$M_{ij}^{kl}(\mathbf{r}) = \langle \mu_{ij}(\mathbf{r}_1) \mu_{kl}(\mathbf{r}_1 + \mathbf{r}) \rangle, \quad A_{ij}^{kl}(\mathbf{r}) = \langle \alpha_{ij}(\mathbf{r}_1) \alpha_{kl}(\mathbf{r}_1 + \mathbf{r}) \rangle \quad (1.4)$$

Корреляционная функция $H_{ij}^{kl}(\mathbf{r})$ тензора несовместности может быть выражена через функции A_{ij}^{kl} и M_{ij}^{kl}

$$H_{ij}^{kl} = -\text{Rot}_{q(k}^{p(i} A_{l)q}^{j)p} = \text{Rot}_{q(k}^{p(i} \text{Rot}_{l)m}^{j)n} M_{mq}^{np} \quad (1.5)$$

Решение системы (1.1) для неограниченного кристалла представляется в виде интеграла свертки с тензором Грина G_{kl}^{pq} внутренних напряжений

$$\sigma_{kl}(\mathbf{r}) = \int G_{kl}^{pq}(\mathbf{r} - \mathbf{p}) \eta_{pq}(\mathbf{p}) d\mathbf{p}, \quad d\mathbf{p} \equiv d\mathbf{p}_x d\mathbf{p}_y d\mathbf{p}_z \quad (1.6)$$

причем тензор Грина определяется уравнениями [6]

$$\text{Rot}_{nj}^{mi} s_{ijkl} G_{kl}^{pq} = -\frac{1}{8\pi} \text{Rot}_{ns}^{mr} \text{Rot}_{sq}^{rp} r, \quad \nabla_q G_{kl}^{pq} = 0 \quad (1.7)$$

Второе из уравнений (1.7) есть условие бивихревого характера упругих полей внутренних напряжений.

Выражение (1.6) позволяет получить следующее интегральное представление бинарной корреляционной функции тензоров внутренних напряжений Σ_{ij}^{kl} :

$$\Sigma_{ij}^{kl}(\mathbf{r}) = \iint G_{ij}^{pq}(\mathbf{r}_1 - \mathbf{p}_1) H_{mn}^{pq}(\mathbf{p}_1 - \mathbf{p}_2) G_{mn}^{kl}(\mathbf{r}_2 - \mathbf{p}_2) d\mathbf{p}_1 d\mathbf{p}_2, \quad \mathbf{r} \equiv \mathbf{r}_1 - \mathbf{r}_2 \quad (1.8)$$

Переходя в выражении (1.8) к трансформантам Фурье, находим

$$\Sigma_{ij}^{kl}(\mathbf{r}) = \frac{1}{8\pi^3} \int G_{ij}^{pq}(\mathbf{k}) H_{mn}^{pq}(\mathbf{k}) G_{mn}^{kl}(-\mathbf{k}) e^{i\mathbf{kr}} d\mathbf{k} \quad (1.9)$$

$$\Sigma_{ij}^{kl}(\mathbf{k}) = G_{ij}^{pq}(\mathbf{k}) H_{mn}^{pq}(\mathbf{k}) G_{mn}^{kl}(-\mathbf{k}) \quad (1.10)$$

Здесь использованы интегральное преобразование Фурье и интегральное представление δ -функции

$$G(\mathbf{r}) = \frac{1}{8\pi^3} \int G(\mathbf{k}) e^{i\mathbf{kr}} d\mathbf{k}, \quad \delta(\mathbf{r}) = \frac{1}{8\pi^3} \int e^{i\mathbf{kr}} d\mathbf{k} \quad (1.11)$$

Выражения (1.9) и (1.10) совместно с соотношениями (1.5) дают общее решение поставленной задачи о связи корреляционной функции тензора внутренних напряжений с корреляционными функциями тензора плотности дислокаций и дислокационной поляризации.

Примем в дальнейшем приближение изотропии упругих модулей [5], однако распределение дислокаций в кристалле будем считать согласованным с кристаллографическими осями. Тогда из (1.7) получаем явный вид трансформанты Фурье тензора Грина [7]

$$G_{ij}^{pq}(\mathbf{k}) = \frac{2G}{h^2} [m\xi_{ij}\xi_{pq} - \xi_{p(i}\xi_{j)q}], \quad m = \frac{2(3K+G)}{3K+4G}$$

$$\xi_{ij} \equiv \frac{k_i k_j}{h^2} - \delta_{ij} \quad (1.12)$$

что позволяет представить функцию Σ_{ij}^{kl} в следующем виде:

$$\Sigma_{ij}^{kl}(\mathbf{k}) = \frac{4G^2}{h^4} [\xi_{p(i}\xi_{j)q} - m\xi_{ij}\xi_{pq}] [\xi_{k(m}\xi_{n)\bar{l}} - m\xi_{mn}\xi_{kl}] H_{mn}^{pq}(\mathbf{k}) \quad (1.13)$$

Здесь K и G — соответственно средние модули всестороннего сжатия и сдвига.

2. Применим полученные результаты к монокристаллам, содержащим неперекрывающиеся дислокационные петли. Для определенности рассмотрим ансамбль призматических дислокаций в ГЦК кристаллах. Такие дислокации представляют собой диски вакансий или внедренных атомов [8], толщина которых h по порядку величины совпадает с постоянной решетки. Электронномикроскопические исследования ряда ГЦК кристаллов [8–12] показывают, что призматические дислокации лежат в плоскостях типа {110} с векторами Бюргерса $b \approx \frac{1}{2}\langle 110 \rangle$, ориентированными нормально к плоскости петли.

Распределение дислокационных петель будем характеризовать тензором дислокационной поляризации. Для рассматриваемых призматических дислокационных дисков этот тензор можно представить следующим образом:

$$\mu_{ik} = b_i n_k h^{-1} \delta(V) \quad (2.1)$$

где $\delta(V)$ — δ -функция области V , занимаемой дислокационным диском [13], а n — единичный вектор нормали к его плоскости.

Будем считать, что петли хаотически разбросаны по объему кристалла, а их векторы Бюргерса с равной вероятностью могут иметь любые направления типа $\langle 110 \rangle$. Тогда $\langle \mu_{ik} \rangle = 0$.

Для определения дисперсии $\Delta_{ij}^{kl} \equiv M_{ij}^{kl}(0)$ случайного поля тензора дислокационной поляризации проведем усреднение в два этапа. Вначале найдем среднее арифметическое $\langle \mu_{ij}(\mathbf{r}) \mu_{kl}(\mathbf{r}) \rangle_\omega$. Индекс ω означает усреднение по всем двенадцати ориентациям вектора Бюргерса. В кристаллографической системе координат имеем

$$\langle \mu_{ij}(\mathbf{r}) \mu_{kl}(\mathbf{r}) \rangle_\omega = \frac{b^2}{12h^2} \left[\delta_{ij}\delta_{kl} + 2\delta_{i(k}\delta_{l)j} - \sum_{n=1}^3 \delta_{in}\delta_{jn}\delta_{kn}\delta_{ln} \right] \delta(V) \quad (2.2)$$

Усредним теперь (2.2) по объему кристалла, это дает

$$\Delta_{ij}^{kl} = \frac{\gamma b^2}{12h^2} \left[\delta_{ij}\delta_{kl} + 2\delta_{i(k}\delta_{l)j} - \sum_{n=1}^3 \delta_{in}\delta_{jn}\delta_{kn}\delta_{ln} \right] \quad (2.3)$$

где γ — относительный объем, занятый дислокационными дисками.

Корреляционную функцию M_{ij}^{kl} представим как произведение тензорной Δ_{ij}^{kl} и координатной $\varphi(\mathbf{r})$ составляющих

$$M_{ij}^{kl}(\mathbf{r}) = \Delta_{ij}^{kl} \varphi(\mathbf{r}) \quad (2.4)$$

Функция $\varphi(\mathbf{r})$ определяется законом распределения дислокационных петель по объему кристалла. Выражение (2.4) вместе с (1.5) и (1.13) позволяет представить корреляционный тензор внутренних напряжений в виде

$$\Sigma_{ij}^{kl}(\mathbf{r}) = 4G^2 \Psi_{ij}^{pq} \Psi_{mn}^{kl} \varepsilon_{bam} \varepsilon_{sbp} \varepsilon_{nci} \varepsilon_{qdr} \Delta_{rs}^{tt} I_{ab}^{cd}(\mathbf{r}), \quad \Psi_{mn}^{kl} \equiv m \delta_{mn} \delta_{kl} - \delta_{k(m} \delta_{n)l} \quad (2.5)$$

$$I_{ij}^{kl} \equiv \nabla_i \nabla_j \nabla_k \nabla_l I(\mathbf{r}), \quad I(\mathbf{r}) = \frac{1}{8\pi^3} \int_0^\infty \frac{\varphi(k)}{k^4} e^{ikr} dk \quad (2.6)$$

Вычислим вначале дисперсию внутренних напряжений. Для этого примем во внимание, что $\varphi(0) \equiv 1$, а также соотношения

$$\int_0^\infty \varphi(k) k^2 dk = 2\pi^2 \varphi(0), \quad \int n_i n_j n_k n_l d\Omega = \frac{4\pi}{15} \delta_{ijkl} \quad (2.7)$$

$$\delta_{ijkl} \equiv \delta_{ij} \delta_{kl} + \delta_{ik} \delta_{jl} + \delta_{il} \delta_{jk}, \quad n_i \equiv k_i/k$$

Тогда, переходя в (2.6) к сферическим координатам, находим

$$I_{ij}^{kl}(0) = 1/12 \delta_{ijkl} \quad (2.8)$$

Отсюда

$$\Sigma_{ij}^{kl}(0) = \frac{g^2}{45} \left[v \delta_{ij} \delta_{kl} + 14 \delta_{ik} \delta_{jl} - 3 \sum_{n=1}^3 \delta_{in} \delta_{jn} \delta_{kn} \delta_{ln} \right] \quad (2.9)$$

$$g^2 \equiv \frac{\gamma b^2}{h^2} G^2, \quad v \equiv 96 m^2 - 64 m + 7$$

Из (2.9) следует, что автокорреляционный тензор внутренних напряжений обладает кубической симметрией. Переходя от тензорных обозначений к матричным, приведем три независимые компоненты этой величины

$$\Sigma_{11} = \frac{2g^2}{45} (48m^2 - 32m + 9), \quad \Sigma_{12} = \frac{vg^2}{45}, \quad \Sigma_{44} = \frac{7g^2}{45} \quad (2.10)$$

По известной дисперсии внутренних напряжений может быть найдена плотность внутренней энергии, связанной с дислокациями

$$U = 1/2 s_{ijkl} \Sigma_{ij}^{kl}(0) \quad (2.11)$$

Подставляя сюда значение $\Sigma_{ij}^{kl}(0)$ согласно (2.9), получаем

$$U = 1/30 g^2 [v(s_{11} + 2s_{12}) + 11s_{11} + 7s_{44}] \quad (2.12)$$

Энергетической характеристикой неоднородности распределения внутренних напряжений может быть спектральная плотность энергии $E(k)$. Последняя определяется соотношением [14]

$$U = \int_0^\infty E(k) dk \quad (2.13)$$

Величина $E(k)$ следующим образом связана с трансформантой Фурье корреляционного тензора внутренних напряжений

$$E(k) = \frac{k^2}{16\pi^3} s_{ijkl} \int \Sigma_{ijkl}(\mathbf{k}) d\Omega \quad (2.14)$$

Отсюда, используя равенства (2.5) и (2.6), получаем

$$E(k) = \frac{1}{2\pi^2} U k^2 \varphi(k) = \frac{4}{\pi} a^3 U k^2 (1 + a^2 k^2)^{-2} \quad (2.15)$$

где координатная зависимость корреляционного тензора принята экспоненциальной с масштабом корреляции a

$$\varphi(r) = \exp(-r/a), \quad \varphi(k) = 8\pi a^3 (1 + a^2 k^2)^{-2} \quad (2.16)$$

Из выражения (2.15) следует, что для длинных волн $E(k) \sim k^2$, тогда как для коротких $E(k) \sim k^{-2}$. Максимум $E(k)$ приходится на значение $k = a^{-1}$.

Для оценки влияния материала на величины Σ и U введем новые параметры равенствами

$$u = U / \gamma, \quad p_{mn} = (\gamma^{-1} \Sigma_{mn})^{1/2}$$

Значения этих параметров для четырех материалов приведены в таблице. При вычислении u и p_{mn} принималось, что толщина дислокационных дисков равна вектору Бюргерса. Из таблицы видно, что при одинаковой плотности дислокационных петель наибольшей энергией обладает кремний и наименьшей — алюминий.

	$G, 10^{12} \text{ дин}/\text{см}^2$	m	$p_{11}, 10^{12} \text{ дин}/\text{см}^2$	$p_{12}, 10^{12} \text{ дин}/\text{см}^2$	$p_{44}, 10^{12} \text{ дин}/\text{см}^2$	$u, 10^{12} \text{ эрг}/\text{см}^3$
Al	0.26	1.54	0.46	0.45	0.10	0.23
Cu	0.55	1.48	0.94	0.80	0.22	0.56
Ge	0.56	1.24	0.79	0.74	0.22	0.59
Si	0.68	1.28	0.97	0.92	0.26	0.65

Для оценки параметра γ учтем, что в алюминии и меди диаметр дислокационных петель $\sim 10^2 \text{ \AA}$, их плотность $\sim 10^{14} \text{ см}^{-3}$ [5]. Отсюда $\gamma \sim 10^{-6}$, что соответствует концентрации закалочных вакансий. Имея это в виду, для алюминия находим

$$\Sigma_{11}^{1/2} = 5\kappa\Gamma/\text{мм}^2, \quad \Sigma_{44}^{1/2} = 1 \text{ } \kappa\Gamma/\text{мм}^2, \quad U = 2 \cdot 10^5 \text{ эрг}/\text{см}^3$$

3. Выше были вычислены дисперсия и внутренняя энергия дислокационных напряжений. Переидем теперь к нахождению бинарной корреляционной функции дислокационных напряжений.

Вычисление интегралов, введенных равенствами (2.6), при условии (2.16) дает

$$I(r) = a^4 [(1 + 4\rho^{-1}) e^{-\rho} - 4\rho^{-1} (1 + 1/4\rho^2)], \quad \rho \equiv r/a \quad (3.1)$$

$$I_{ij}^{kl}(r) = f_1(\rho) \delta_{ijkl} + f_2(\rho) n_i n_j n_k n_l + f_3(\rho) P_{ijkl} \quad (3.2)$$

$$P_{ijkl} \equiv 2(\delta_{ij} n_k n_l + \delta_{ik} n_j n_l + \delta_{il} n_j n_k) \quad (3.2)$$

$$\rho^5 f_1 \equiv -12 + \rho^2 + (12 + 12\rho + 5\rho^2 + \rho^3) e^{-\rho}$$

$$\rho^5 f_2 \equiv 3(100 - 7\rho^2) - (300 + 300\rho + 129\rho^2 + 29\rho^3 + 2\rho^4 - \rho^5) e^{-\rho} \quad (3.3)$$

$$\rho^5 f_3 \equiv 3(20 - \rho^2) - (60 + 60\rho + 27\rho^2 + 7\rho^3 + \rho^4) e^{-\rho}$$

Квадратные скобки, использованные в равенстве (3.2), означают симметризацию по парам индексов, например

$$\delta_{[ij} n_k n_{l]} \equiv 1/2 (\delta_{ij} n_k n_l + \delta_{kl} n_i n_j) \quad (3.4)$$

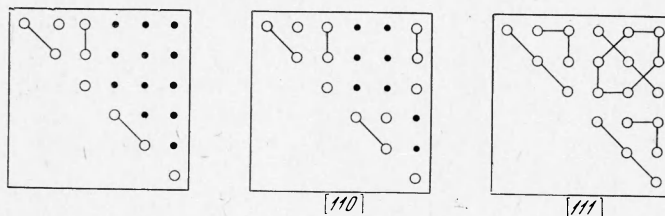
Подставляя найденные выражения (2.3), (3.2) и (3.3) в (2.5), получаем

$$\begin{aligned} \Sigma_{ij}^{kl}(\mathbf{r}) = & \frac{g^2}{3} \left[\varphi_1 \delta_{ij} \delta_{kl} + \varphi_2 \delta_{i(k} \delta_{l)j} + \varphi_3 \sum_{n=1}^3 \delta_{in} \delta_{jn} \delta_{kn} \delta_{ln} + \right. \\ & + 2\varphi_4 \delta_{[ij} n_k n_{l]} + \varphi_5 n_{(i} \delta_{j)(k} n_{l)} + 2\varphi_6 \delta_{[ij} \sum_{n=1}^3 \delta_{kn} \delta_{ln]} n_n^2 + \\ & + 2\varphi_7 \sum_{n=1}^3 \delta_{[in} \delta_{jn} n_{(k} \delta_{l)n]} n_n + \varphi_8 \sum_{n=1}^3 \delta_{n(k} \delta_{l)(i} \delta_{j)n]} n_n^2 + \\ & \left. + \varphi_9 n_i n_j n_k n_l + 2\varphi_{10} \delta_{[ij} \sum_{n=1}^3 n_{(k} \delta_{l)n]} n_n^3 + \varphi_{11} \sum_{n=1}^3 \delta_{n(i} n_{j)} \delta_{n(k} n_{l)} n_n^2 \right] \end{aligned} \quad (3.5)$$

где функции $\varphi_i(\rho)$ определяются равенствами

$$\begin{aligned} \varphi_1 &\equiv v f_1 + \left[7m^2 - 6m + 2 - (m-1)^2 \sum_{n=1}^3 n_n^4 \right] f_2 + (64m^2 - 58m + 8) f_3 \\ \varphi_2 &\equiv 2(7f_1 + f_2 + 8f_3), \quad -\varphi_3 \equiv 3f_1 + f_2 + 6f_3 \\ \varphi_4 &\equiv 2[(2m-1)f_2 + (11m-2)f_3], \quad -\varphi_5 \equiv 4(f_2 + f_3) \\ \varphi_6 &\equiv (m-1)(f_2 + f_3) \\ \varphi_7 &\equiv 2(f_2 + 3f_3), \quad -\varphi_8 \equiv 4f_3, \quad \varphi_9 = 4\varphi_{10} = -\varphi_{11} \equiv 4f_2 \end{aligned} \quad (3.6)$$

Из выражения (3.5) следует, что для трех характерных направлений [001], [110] и [111] корреляционная матрица внутренних напряжений имеет вид, представленный на фиг. 1. Здесь кружками обозначены эле-



Фиг. 1

менты матрицы, отличные от нуля, точками — равные нулю, а линией соединены одинаковые элементы. В первом и третьем случаях корреляционная матрица Σ_{mn} характеризуется шестью различными элементами, а во втором — девятью.

Как и следовало ожидать, симметрия матрицы Σ_{mn} оказывается более низкой, чем кубическая, так как наряду с анизотропным распределением дислокационных петель, согласованным с кубической симметрией среды, корреляционная матрица характеризуется выделенным направлением в пространстве, соединяющим две точки, между которыми имеется корреляционная связь.

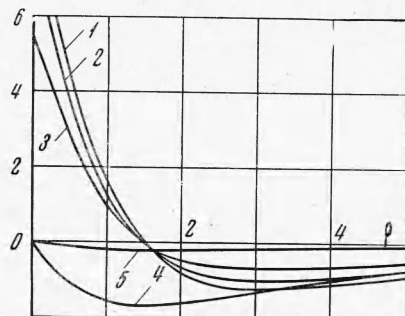
Явные значения компонент матрицы Σ_{mn} легко находятся из выражения (3.5). Например, для направления [001] будем иметь

$$\begin{aligned} \Sigma_{11}^\circ &= \varphi_1 + \varphi_2 + \varphi_3, \quad \Sigma_{33}^\circ = \Sigma_{11}^\circ + \varphi_5 + \varphi_8 + 2(\varphi_4 + \varphi_6 + \varphi_7 + \varphi_{10}) \\ 2\Sigma_{66}^\circ &= \varphi_2, \quad \Sigma_{12}^\circ = \varphi_1, \quad 4\Sigma_{44}^\circ = 2\varphi_2 + \varphi_5 + \varphi_8, \\ \Sigma_{13}^\circ &= \varphi_1 + \varphi_4 + \varphi_6 + \varphi_{10}, \quad \Sigma_{mn}^\circ \equiv \frac{3}{g^2} \Sigma_{mn} \end{aligned} \quad (3.7)$$

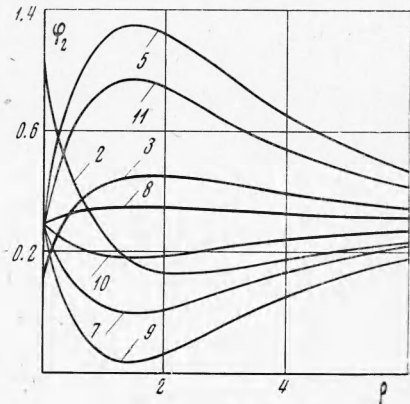
Как видно из выражений (3.5) и (3.7), координатная зависимость компонент тензора Σ_{mn} определяется функциями φ_i . Три из них $\varphi_1, \varphi_4, \varphi_6$ зависят от упругих модулей кристалла, кроме того, поведение функции φ_1 зависит от направления, вдоль которого рассматриваются корреляционные связи. Графики этих функций представлены на фиг. 2. Кривые 1, 2, 3 – зависимости $\varphi_1(\rho)$ для алюминия, меди и германия (кремния) соответственно. Функции $\varphi_i(\rho)$, инвариантные относительно упругих свойств и направлений, приведены на фиг. 3. Здесь цифры указывают индекс функции φ_i .

Как видно из фигур, все функции φ_i имеют экстремум при $1.5 \leq \rho \leq 3$, после чего быстро убывают с увеличением расстояния. Угловая зависимость функции φ_1 оказывается слабой. Так, на расстояниях порядка масштаба корреляции различие в функциях φ_1 , вычисленных для направлений [001], [110] и [111] составляет 1%. Зависимость от упругих модулей функции φ_1 оказывается существенной при малых ρ и практически исчезает на расстояниях, превышающих несколько масштабов корреляции, что иллюстрируется кривыми 1—3 на фиг. 2.

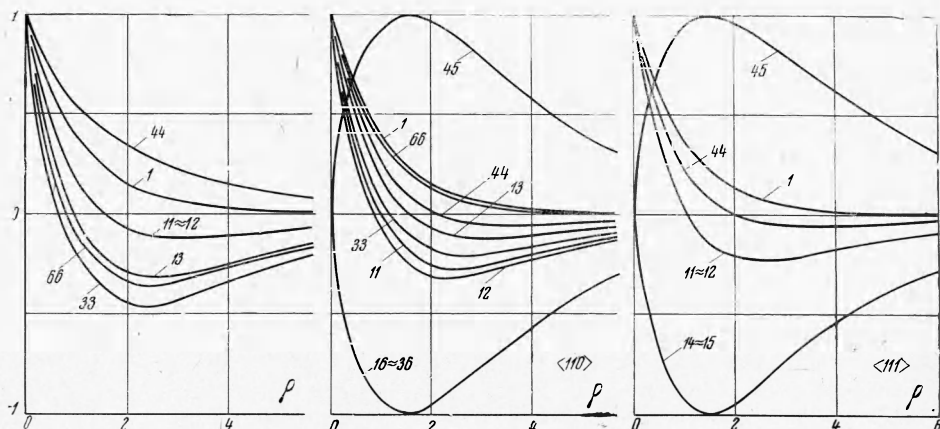
Для функций $\varphi_4(\rho)$ и $\varphi_6(\rho)$ (кривые 4 и 5) эта зависимость пренебрежимо мала.



Фиг. 2



Фиг. 3



Фиг. 4

Координатные зависимости компонент корреляционной матрицы внутренних напряжений, соответствующие ориентировкам [001], [110] и [111] отрезка, связывающего точки, между которыми устанавливается корреляционная связь, приведены на фиг. 4. Цифрами у кривых указаны индексы безразмерных корреляционных функций S_{mn} , полученных путем деления величины $\Sigma_{mn}(r)$ на $\Sigma_{mn}(0)$ в случае $\Sigma_{mn}(0) \neq 0$ и на абсолютную величину максимума (минимума) $\Sigma_{mn}(r)$, если $\Sigma_{mn}(0) = 0$. Для сравнения на графиках нанесена экспонента (кривая 1), описывающая координатную зависимость бинарной корреляционной функции дислокационной поляризации.

Сопоставляя кривые для направления [001], замечаем, что монотонное убывание имеет место лишь для компоненты S_{44} . Во всех остальных случаях кривые проходят через минимум, имеющий место на расстояниях от $\rho = 2$ до $\rho = 3$.

Как видно из структуры матрицы, приведенной на фиг. 1, для направления [001] переход к кубической симметрии налагает дополнительные условия $S_{33} = S_{11}$, $S_{66} = S_{44}$ и $S_{13} = S_{12}$, причем ни одна из компонент матрицы S_{mn} при этом не обращается в нуль. Наоборот, для направления [111], характеризующегося также шестью различными компонентами корреляционной матрицы внутренних напряжений, переход к кубической структуре налагает дополнительные условия $S_{14} = S_{15} = S_{45} = 0$. Соответственно этому три из шести различных компонент матрицы S_{mn} при $r \rightarrow 0$ обращаются в нуль. Направление [111] характерно также тем, что ни одна из компонент S_{mn} не описывается монотонной кривой. Отметим также, что компоненты S_{14} и S_{15} оказываются отрицательными, что означает несовпадение знаков случайных составляющих продольной и сдвиговой составляющих упругих полей. В то же время корреляции различных сдвиговых компонент напряжений, описываемых компонентой S_{45} , будут положительными.

Для направления [110] переход к $r \rightarrow 0$ приводит к обращению в нуль компонент $S_{16} = S_{26}$, S_{36} и S_{45} . При этом функция S_{45} во всей области положительна, тогда как компоненты $S_{16} \approx S_{36}$ отрицательны. Монотонный спад имеет место для компоненты S_{66} , тогда как функции S_{11} , S_{12} , S_{33} , S_{13} и S_{44} переходят в область отрицательных значений на расстояниях порядка одного-двух масштабов корреляций и имеют минимум на расстояниях $2 \leq \rho \leq 3$, после чего наблюдается их асимптотическое приближение к оси абсцисс.

Для сопоставления абсолютных величин корреляционных тензоров внутренних напряжений введем параметр z_{mn} , равный отношению $\Sigma_{mn}(0)$ к значению $\Sigma_{11}(0)$. Тогда, выбирая для определенности алюминий, для всех направлений найдем $z_{12} = -0.92$ и $z_{44} = 0.047$, т. е. корреляция между сдвиговыми составляющими поля оказывается существенно более слабой, чем между продольными.

Для сравнения компонент Σ_{mn} , которые при $r \rightarrow 0$ обращаются в нуль, введем коэффициенты ζ_{mn}^{pq} , определив их как отношение экстремального значения Σ_{mn}^* к наибольшей из величин Σ_{pq}^* при данном ρ^* . Все функции S_{mn} имеют максимум (минимум) при $\rho = 1.5$. Наибольший из максимумов для направления [111] имеет компонента Σ_{14} , а для [110] — Σ_{36} . Соответственно в первом случае находим $\zeta_{15}^{14} = 0.76$, $\zeta_{45}^{14} = 0.045$, а во втором — $\zeta_{16}^{37} = 0.95$, $\zeta_{45}^{36} = 0.18$. Сопоставление значений Σ_{14} для направления [111] и Σ_{36} для [110] в точках минимума ($\rho = 1.5$) с соответствующими величинами $\Sigma_{11}(\rho)$ показывает, что они одного порядка: $\Sigma_{11}(1.5) \approx 2\Sigma_{44}(1.5)$ для направления [111] и $\Sigma_{11}(1.5) \approx 2\Sigma_{36}(1.5)$ для направления [110].

Поступила 23 VI 1970

ЛИТЕРАТУРА

- Сб. «Напряжения и дислокации в полупроводниках» М., Ин-т кристаллографии АН СССР, 1962.
- Струнин Б. М. О распределении внутренних напряжений при случайному расположении дислокаций. Физика твердого тела, 1967, т. 9, вып. 3.
- Кривоглаз М. А., Масюкевич А. М., Рябушапка К. П. Энергия хаотически распределенных дислокаций. В сб.: «Несовершенства кристаллического строения» Киев. «Наукова думка», 1968.
- Gaal I., Geszti T. Internal stresses and dislocation distribution. Scripta Metallurgica, 1969, vol. 3, No. 3.
- Фридель Ж. Дислокации. М., «Мир», 1967.
- Куин И. А. Тензор Грина для анизотропной упругой среды с источниками внутренних напряжений. Докл. АН СССР, 1964, т. 157, № 6.
- Фокин А. Г., Шермергорт Т. Д. К определению границ эффективных упругих модулей неоднородных твердых тел. ПМТФ, 1968, № 4.
- Рагимов И. А., Арсентьев И. П., Рожанский В. Н. Природа дефектов, возникающих при распаде твердого раствора мышьяка в германии. Физика твердого тела, 1969, т. 11, вып. 4.
- Well W. L., Thomas G. Contrast from large prismatic dislocation loops. Philos. Mag., 1966, vol. 13, No. 2.
- Амелинкс С. Методы прямого наблюдения дислокаций. М., «Мир», 1968.
- Кабанов Ю. П., Моргулис Л. М., Осипьян Ю. А. Электронномикроскопическое наблюдение призматических дислокационных петель в Ge. Физика твердого тела, 1968, т. 10, вып. 3.
- Кабанов Ю. П., Моргулис Л. М., Осипьян Ю. А. Поправка к статье «Электронномикроскопическое наблюдение призматических дислокационных петель в Ge». Физика твердого тела, 1969, т. 11, вып. 4.
- Куин И. А. Теория дислокаций. Приложение к книге Скоутена Я. А. «Тензорный анализ для физиков», М., «Наука», 1965.
- Татарский В. Й. Распространение волн в турбулентной атмосфере. М., «Наука», 1967.